

Восстановление человеком исходной позы после толчка Reversion of initial posture by a person after a push

Романов Андрей Владимирович

МГУ им. М.В. Ломоносова
Механико-математический факультет
Кафедра прикладной механики и управления
Научный руководитель: Кручинин П.А.

24 марта 2023 г.

Описание задачи



Рис.: Схематическое изображение толкателя и положения испытуемого на стабиллоплатформе

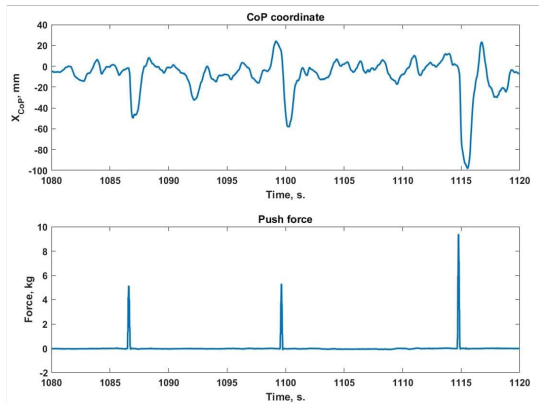


Рис.: Отклонение сагиттальной координаты при различных по силе толчках (данные предоставлены сотрудниками ИМБП РАН)

Задача быстрогодействия

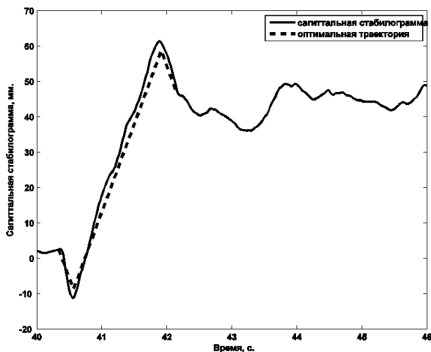
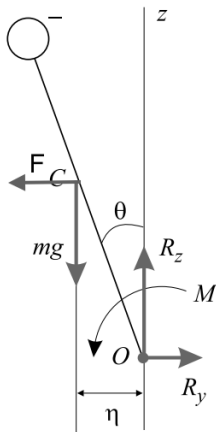


Рис.: Характерный вид сагиттальной стабиллограммы при наклоне при выполнении теста со ступенчатым воздействием

В работе рассматриваются возможные алгоритмы управления изменением позы человека, основанные на решении задачи оптимального быстрогодействия, которые можно было бы использовать для возвращения человека в исходную вертикальную позу. В качестве математической модели используется модель «перевернутого маятника». Это решение предлагается использовать для оценки эффективности управления человеком при возвращении в вертикальную позу, путем сравнения времени реального процесса с полученным эталонным решением оптимальной задачи.

Математическая модель

Рассматривается задача возвращения в исходную позу после завершения толчка



$$J\ddot{\varphi} = m_T g l \varphi + M$$

$$\varphi(0) = \varphi_0, \dot{\varphi}(0) = \omega_0$$

$$\varphi(t) = \varphi_k, \dot{\varphi}(t_k) = 0$$

$$M(0) = M(t_k) = -m_T g l \varphi_k$$

$$U^- < \dot{M} < U^+$$

Решение задачи быстрогодействия

В прошлом году решалась задача быстрогодействия

Система разбивается на 3 этапа, с чередованием знака управления

Решение сводится к отысканию корней полинома для нахождения времени возвращения в вертикальную позицию.

θ — угол отклонения от вертикали

ω — угловая скорость тела

m — момент, возникающий в голеностопном суставе

$$\begin{cases} \theta' = \omega, \\ \omega' = \theta + m, \\ m' = u. \end{cases} \quad (1) \quad u = \begin{cases} -u_{\max} \\ +u_{\max} \end{cases}$$

$$\tau = \frac{t}{t_*}, \quad t_* = \sqrt{\frac{J}{m_T g l}}, \quad \varphi_* = \varphi_0 - \varphi_k$$

$$\theta(0) = 1; \quad \theta'(0) = \frac{t_*}{\varphi_*} \omega_0 = \Omega_0; \quad m(0) = 0$$

$$\theta(\tau_f) = 0; \quad \theta'(\tau_f) = 0; \quad m(\tau_f) = 0$$

Решение задачи быстродействия

Запишем функцию Понtryгина

$$H(\psi(t), y(t), u(t)) = \psi_1 \cdot \omega + \psi_2 \cdot (\theta + m) + \psi_3 \cdot u$$

$$\begin{cases} \psi_1' = -\frac{\partial H}{\partial \theta} = -\psi_2 \\ \psi_2' = -\frac{\partial H}{\partial \omega} = -\psi_1 \\ \psi_3' = -\frac{\partial H}{\partial m} = -\psi_2 \end{cases} \quad (2)$$

При $\psi_3 \equiv 0$ следует, что $\psi_2 \equiv 0$ и $\psi_1 \equiv 0$ следовательно особого управления нет.

Тогда для условия максимизации функции Понtryгина

$$u = \begin{cases} -u_{max}, & \text{при } \psi_3 < 0 \\ +u_{max}, & \text{при } \psi_3 \geq 0 \end{cases}$$

Решение задачи быстрогодействия

Решая систему (2), получим

$$\begin{cases} \psi_1 = -C_1 e^{\tau} + C_2 e^{-\tau} + C_3, \\ \psi_2 = C_1 e^{\tau} + C_2 e^{-\tau}, \\ \psi_3 = -C_1 e^{\tau} + C_2 e^{-\tau} + C_3. \end{cases}$$

Анализируя корни уравнения $\psi_3(\tau) = 0$, для различной комбинации коэффициентов C_1, C_2, C_3 , получим, что число корней не может быть больше двух. В системе может быть не более двух переключений u . Пусть первое переключение управления происходит в момент времени $\tau = \tau_1$, а второе в момент времени $\tau = \tau_2$. Рассмотрим систему (1) на трех этапах, при переходе между которыми меняется управление.

Решение задачи быстрогодействия

Этап 1. $u = -u_*$ начальные условия

$$m(0) = 0; \theta(0) = 1; \omega(0) = \Omega_0;$$

$$\begin{cases} 0 = -\tau u_* + c_1, \\ 1 = \frac{1}{2} e^{-\tau} \left(C_1 (e^{\tau} - 1)^2 + C_2 (e^{2\tau} + 1) + C_3 e^{2\tau} - C_3 + 2e^{\tau} \tau u_* \right), \\ \Omega_0 = \frac{1}{2} e^{-\tau} \left(C_1 (e^{2\tau} - 1) + C_2 (e^{2\tau} - 1) + C_3 e^{2\tau} + C_3 + 2e^{\tau} u_* \right). \end{cases}$$

$$\begin{cases} m_1(\tau) = -\tau u_*, \\ \theta_1(\tau) = \frac{e^{\tau} + e^{-\tau}}{2} + \frac{\Omega_0 - u_*}{2} (e^{\tau} - e^{-\tau}) + \tau u_*, \\ \omega_1(\tau) = \frac{e^{\tau} - e^{-\tau}}{2} + \frac{\Omega_0 - u_*}{2} (e^{\tau} + e^{-\tau}) + u_*. \end{cases}$$

Аналогично для 2 и 3 этапов

Решение задачи быстродействия

Условие сопряжения этих интервалов

$$\begin{cases} m_2(\tau_2) = m_3(\tau_2), \\ \theta_2(\tau_2) = \theta_3(\tau_2), \\ \omega_2(\tau_2) = \omega_3(\tau_2). \end{cases}$$

Замена переменных

$$x = e^{\tau_1}, \quad y = e^{\tau_2}, \quad z = e^{\frac{\tau_f}{2}}$$

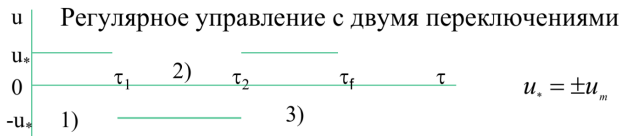


Рис.: Интервалы переключения управления

Решение задачи быстрогодействия

Требуется отобрать наименьший корень уравнений больший 1. При различных по знаку u_* .

$$x = \left(\frac{1}{2z} - \frac{u_* z}{2} - (\Omega_0 - u_*) \frac{1}{2z} \right) \frac{z}{u_*(1-z)} \quad (3)$$

$$y = zx,$$

$$\begin{cases} u_* z^2 + \Omega_0 - 1 - u_* = 0, \\ (-u_* \Omega_0 + u_*^2 - u_*) z^4 - 4u_*^2 z^3 + (2u_* \Omega_0 + 6u_*^2 - \Omega_0^2 + 1) z^2 - \\ - 4u_*^2 z + -u_* \Omega_0 + u_*^2 + u_* = 0 \end{cases} \quad (4)$$
$$\tau_f = \ln(z)$$

Определение начальных условий для задачи быстрогодействия

Для корректного решения задачи быстрогодействия необходимо определить начальные условия после толчка.

Для этого необходимо построить оценку $\tilde{\eta}$ траектории центра масс системы, зная траекторию центра давления, и взять значение $\tilde{\eta}_0$ и $\dot{\tilde{\eta}}_0$ в момент времени завершения толчка

Связь центра масс и центра давления

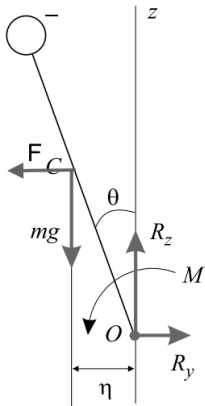


Рис.: Силы действующие на модель стержня, имитирующего тело человека

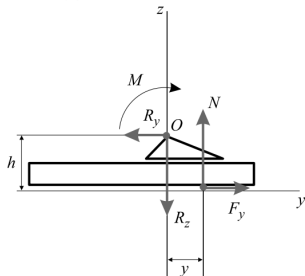


Рис.: Силы действующие на систему «стопы ног – платформа стабилоанализатора»

Связь центра масс и центра давления

$$\begin{cases} ml\ddot{\theta} = -R_y - F, \\ 0 = R_z - mg, \\ J\ddot{\theta} = mlg\theta - Fl_1 + M_x. \end{cases} \quad (5)$$

$$\begin{cases} M_x = Ny + F_y h, \\ F_y = R_y, \\ N \approx mg. \end{cases} \quad (6)$$

$$M_x = mgy - h(F + ml\ddot{\theta})$$

$$(J + mlh)\ddot{\theta} = mgl\theta + mgy - Fl_1 - Fh$$

$$\frac{(J + mlh)l\ddot{\theta}}{mgl} = l\theta + y - \frac{F}{mg}(l_1 + h); \quad \text{Замена: } \eta = -l\theta; \quad T^2 = \frac{J + mlh}{mgl};$$

$$T^2\ddot{\eta} = \eta - y + \frac{F}{mg}(l_1 + h) \quad (7)$$

Связь центра масс и центра давления

Соотношение (7) предлагается использовать для определения начальных условий движения сразу после толчка

Далее необходимо построить оценку $\tilde{\eta}$ движения центра масс различными способами, описанными в работах, выполненных под руководством П.А. Кручинина

Моделирование движения человека

Модель движения человека, где $M = -C\theta - P\dot{\theta}$ - момент в голеностопе

$$J\ddot{\theta} = mgl\theta + M - Fl_1$$

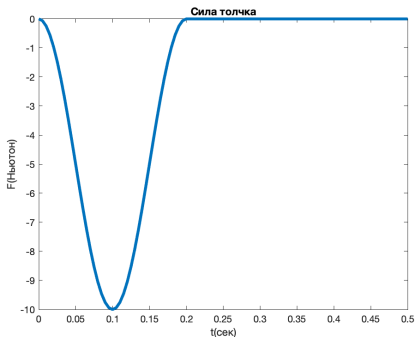


Рис.: Модель силы толчка

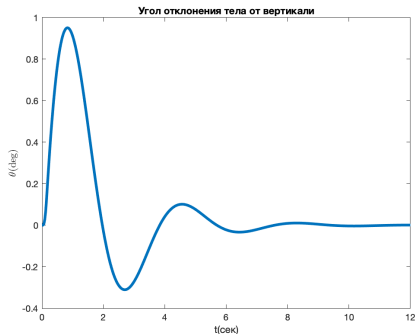


Рис.: Модель изменения угла отклонения

Алгоритм фильтрации (композиция двух фильтров)

Передаточная функция системы (7) имеет вид

$$G(s) = -\frac{1}{T^2 s^2 - 1}$$

Ее можно представить в виде композиции двух фильтров

$$G(s) = G_1(s) \cdot G_2(s)$$

$$G_1(s) = \frac{1}{Ts - 1}, G_2(s) = \frac{1}{Ts + 1}$$

Оценка координаты центра масс может быть найдена, путем последовательного применения двух фильтров

$$T\dot{x} + x = -y \text{ в прямом времени}$$

$$T\dot{\eta} - \eta = x \text{ в обратном времени}$$

Алгоритм фильтрации (преобразование Фурье)

$Y(\omega), N(\omega)$ – Фурье образы $y(t)$ и $\eta(t)$

$$N(\omega) = G(i\omega) \cdot Y(\omega)$$

Представим $y(t) = a(t - t_0) + b + \delta(t)$

$a = \frac{y(t_f) - y(t_0)}{t_f - t_0}$, $b = y(t_0)$, тогда оценка координаты центра масс может быть найдена из

$\eta(t) = a(t - t_0) + b + \chi(t)$, где $\chi(t)$ - Фурье праобраз $N(\omega)$

Моделирование движения человека

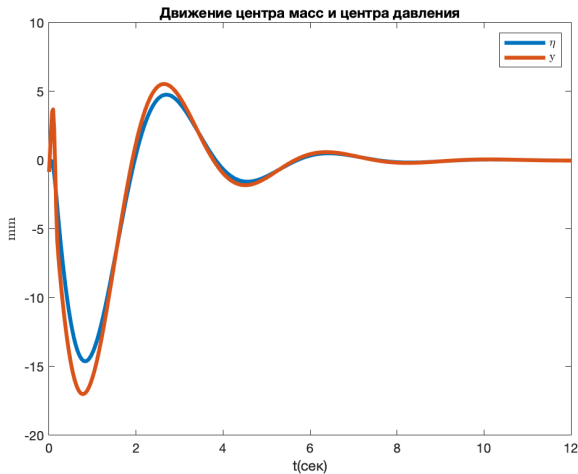


Рис.: Модель изменения сагитальной координаты центра масс и центра давления

Модельная оценка центра масс с использованием FFT

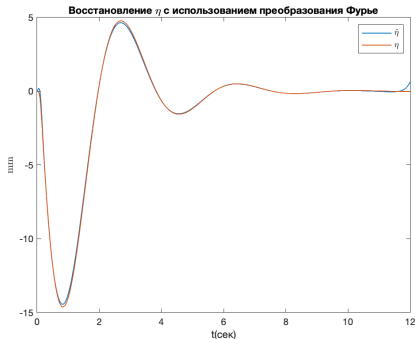


Рис.: Реальное и восстановленное значение η

$$\sigma = 0.1 \text{ mm}$$

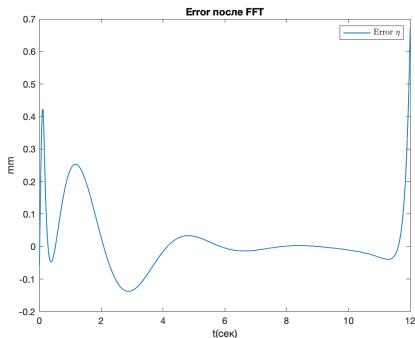


Рис.: Ошибка оценивания

Модельная оценка центра масс с использованием двойной фильтрации

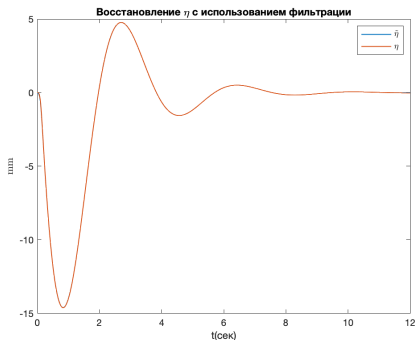


Рис.: Реальное и восстановленное значение η

$$\sigma = 0.008mm$$

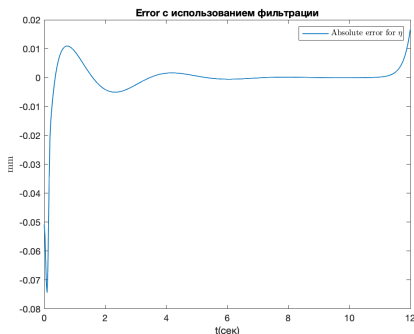


Рис.: Ошибка оценивания

Дальнейшие шаги

- 1 Применить алгоритм двойной фильтрации и фильтрации через FFT для реальных показаний со стабиланализатора
- 2 Получить оценку ц.м. и оценку скорости изменения ц.м. в момент времени завершения толчка
- 3 Определить характерную среднюю скорость изменения момента в голеностопе на участках возврата и подставить ее в управление $u_* = \frac{\dot{M}_{max}}{mgl\varphi_*t_*}$
- 4 Сравнить реальное время возвращения в вертикальную позу с полученными при решении задачи быстрогодействия
- 5 Построить траекторию центра масс при управлении, полученном при решении задачи быстрогодействия

Список основной используемой литературы



П.А. Кручинин Анализ результатов стабилметрических тестов со ступенчатым воздействием с точки зрения механики управляемых систем // Биофизика. – 2019. – Т. 64, №5. – С. 1–11.



П.А. Кручинин Механические модели в стабилметрии // Российский журнал биомеханики. – 2014. – Т. 18, №2. – С. 184–193.



П.А. Кручинин, М.А. Подоприхин, И.Д. Бекеров Сравнительный анализ алгоритмов оценки движения центра масс по результатам стабилметрических измерений // Биофизика – 2021. – Т. 66, №5. – С. 997–1004.



Александров В.В., Лемак С.С., Парусников Н.А. Лекции по механике управляемых систем. Москва, Механико-математический факультет МГУ, 2020, 165 с.



Фалб Питер Л., Атанс Майкл Оптимальное управление, Машиностроение, 1968, 764 с.

Список основной используемой литературы



А.А. Мельников, В.В. Филева, М.В. Малахов Эффективность восстановления вертикальной позы после толчка у спортсменов разных специализаций // Физиология человека. – 2017. – Т. 43, №4. – С. 78–85.



А.А. Мельников, В.В. Филева Методика определения устойчивости вертикальной позы под влиянием внешнего толкающего воздействия // Вестник северного (арктического) федерального университета. – 2015. №1. – С. 31–37.